

- [9] Кальянов Э. В. К., Железовский Б. Е. Многочастотные режимы в приборах СВЧ. М.: Сов. радио, 1978. 252 с.
[10] Шапиро В. Д., Шевченко В. И. // Изв. вузов. Радиофизика. 1976. Т. 19. № 5, 6. С. 777—791.

Московский государственный университет
им. М. В. Ломоносова
Физический факультет

Поступило в Редакцию
16 марта 1988 г.
В окончательной редакции
31 августа 1988 г.

11

Журнал технической физики, т. 59, в. 7, 1989

ОТРАЖЕНИЕ МЕДЛЕННЫХ ЭЛЕКТРОНОВ И ВТОРИЧНАЯ ЭЛЕКТРОННАЯ ЭМИССИЯ ОЭС ЭМИТТЕРА НА ОСНОВЕ GaAsP

Г. Б. Стучинский, Е. И. Янюшкин, Т. В. Ярюшкина

Вторично-эмиссионные свойства эмиттеров с отрицательным электронным сродством (ОЭС).^[1] на основе полупроводников $A_{III}B_V$ с поверхностными покрытиями, снижающими работу выхода, сравнительно полно исследованы лишь в области средних энергий первичных электронов E_p (порядка сотен и тысяч электронвольт). В то же время исследование отражения электронов и вторичной электронной эмиссии (ВЭЭ) твердых тел в области малых энергий E_p (порядка единиц электронвольт) позволяет получать информацию об энергетической структуре изучаемого вещества и закономерностях процесса рассеяния электронов в приповерхностных слоях эмиттеров. Имеющиеся данные [2—5] для эмиттеров на основе полупроводников $A_{III}-B_V$ не содержат таких важных характеристик процесса рассеяния медленных электронов и ВЭЭ, как пороговая энергия возбуждения валентных электронов, значения первого критического потенциала для эмиттеров с высокой эффективностью и распределение по энергиям вторичных электронов.

На рис. 1 приведена зависимость $\sigma(E_p)$ и $R(E_p)$ от энергии первичных электронов E_p . Для этого были выбраны образцы ОЭС эмиттеров, в которых концентрация акцепторной примеси цинка в исследованных слоях $GaAs_{0.6}P_{0.4}$ составляла 10^{18} см^{-3} . Снижение работы выхода до состояния ОЭС осуществлялось путем адсорбции цезия и кислорода на очищенную прогревом в высоком вакууме поверхность слоя. Работа выхода полученных ОЭС эмиттеров измерялась методом Андерсона и составляла ≈ 1.2 эВ. Энергетические распределения вторичных электронов (ЭРВЭ) измерялись в трехсеточном квазисферическом анализаторе методом электрического дифференцирования кривых задержки с помощью модуляции задерживающего потенциала [6]. Запись ЭРВЭ, а также кривых зависимости полного КВЭЭ σ от энергии E_p и кривых задержки тока вторичных электронов проводилась в автоматическом режиме.

На рис. 1 приведена зависимость $\sigma(E_p)$ при малых E_p для образца, обладавшего сравнительно высокой вторично-эмиссионной эффективностью (в области средних энергий E_p значения КВЭЭ составляли 8.8 при 100 эВ и 33 при 600 эВ). Энергия E_p определялась с учетом контактной разности потенциалов между поверхностью эмиттера и термокатодом электронного прожектора (вольфрамовой нитью). Штриховая часть кривой характеризует распределение

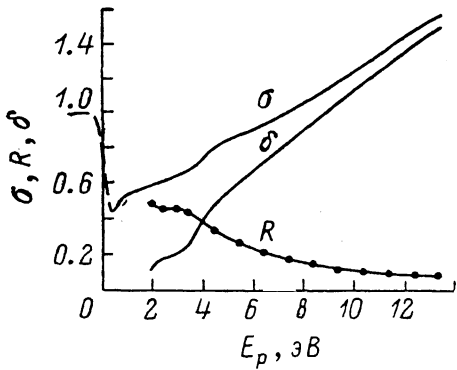


Рис. 1.

вания были выбраны поликристаллические образцы ОЭС эмиттеров. В этом случае в отличие от монокристаллических эмиттеров можно ожидать, что в эмиссионных характеристиках не будут проявляться дифракционные явления и ориентационные эффекты. Концентрация акцепторной примеси цинка в исследованных слоях $GaAs_{0.6}P_{0.4}$ составляла 10^{18} см^{-3} . Снижение работы выхода до состояния ОЭС осуществлялось путем адсорбции цезия и кислорода на очищенную прогревом в высоком вакууме поверхность слоя. Работа выхода полученных ОЭС эмиттеров измерялась методом Андерсона и составляла ≈ 1.2 эВ. Энергетические распределения вторичных электронов (ЭРВЭ) измерялись в трехсеточном квазисферическом анализаторе методом электрического дифференцирования кривых задержки с помощью модуляции задерживающего потенциала [6]. Запись ЭРВЭ, а также кривых зависимости полного КВЭЭ σ от энергии E_p и кривых задержки тока вторичных электронов проводилась в автоматическом режиме.

На рис. 1 приведена зависимость $\sigma(E_p)$ при малых E_p для образца, обладавшего сравнительно высокой вторично-эмиссионной эффективностью (в области средних энергий E_p значения КВЭЭ составляли 8.8 при 100 эВ и 33 при 600 эВ). Энергия E_p определялась с учетом контактной разности потенциалов между поверхностью эмиттера и термокатодом электронного прожектора (вольфрамовой нитью). Штриховая часть кривой характеризует распределение

ление по энергиям в пучке первичных электронов [6]. Минимальные измеренные значения при E_p , близких к нулю, характеризующие по существу величину коэффициента упругого отражения электронов R , составляли в различных экспериментах 0.35—0.45. Эти значения, естественно, завышены в связи с немонотонностью пучка первичных электронов. При $E_p=1$ эВ (с учетом разброса первичных электронов по энергиям $E_p=1 \pm 0.5$ эВ), когда еще невозможны процессы ионизации, приводящие к возбуждению валентных электронов в зону проводимости, значения σ , примерно равные R , составляли 0.5—0.6. Значение первого критического потенциала, соответствующее величине $\sigma=1$, составило, как видно из рис. 1, около 7 эВ. Зависимость $R(E_p)$ для того же образца ОЭС эмиттера приведена на рис. 1. Величина R при каждом значении E_p определялась по точке перегиба кривой задержки тока вторичных электронов перед резким спадом этой кривой, связанным с задержкой упругоотраженных электронов. Зависимость коэффициента эмиссии медленных электронов δ от энергии первичных электронов ($\delta=\sigma-R$) также представлена на рис. 1.

На рис. 2 приведены энергетические распределения вторичных электронов $N(E)$. Наблюдаемая ширина пика квазиупругоотраженных электронов в основном связана с немонотонностью

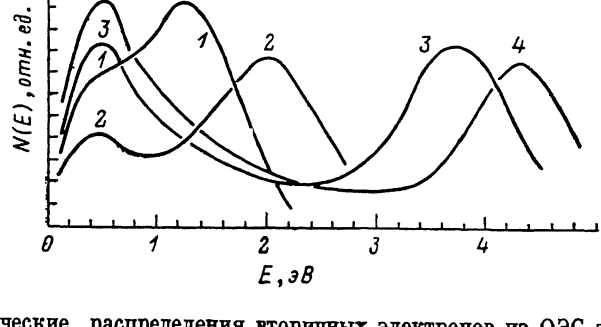


Рис. 2. Энергетические распределения вторичных электронов из ОЭС эмиттера на основе поликристаллического слоя $\text{GaAs}_{0.6}\text{P}_{0.4}$.

E_p , эВ: 1 — 1.3, 2 — 2.1, 3 — 3.8, 4 — 4.4.

кинетичностью пучка первичных электронов. В то же время, если основной вклад в величину R для эффективного полупроводникового эмиттера дает не квантово-механическое отражение от поверхностного барьера, а рассеяние вошедших в твердое тело электронов на фононах [6, 7], следует ожидать, что ширина этого пика связана не только с разбросом по энергиям электронов первичного пучка, но и с потерями их энергии внутри эмиттера в результате взаимодействия с фононами, а также со связанными поверхностными плазмон-фононными модами колебаний [8]. Возможны также потери энергии при взаимодействии электронов с рассеивающими центрами в активирующем покрытии [9] и с поверхностными фононами [10]. Пик электронов малых энергий, свидетельствующий о рассеянии первичных электронов на валентных электронах полупроводника, четко проявляется в ЭРВЭ при $E_p \geq 2$ эВ. Таким образом, с учетом разброса первичных электронов по энергиям, а также изгиба зон в приповерхностной области полупроводника можно полагать, что пороговая энергия ионизации близка к ширине запрещенной зоны E_g , составляющей для $\text{GaAs}_{0.6}\text{P}_{0.4} \approx 1.9$ эВ [11], и во всяком случае не превышает ее более чем в 1.5 раза. В то же время резкий спад величины R (рис. 1) наблюдается лишь при $E_p \approx 3.5$ эВ, что может быть связано с существенным ростом при этих энергиях вероятности процессов ионизации, приводящих к возбуждению валентных электронов. При дальнейшем увеличении энергии первичных электронов возрастает число истинно вторичных электронов, и, как видно из рис. 2, уже при $E_p \approx 4$ эВ соответствующий пик электронов малых энергий в ЭРВЭ превалирует над пиком квазиупругоотраженных электронов.

При исследовании эффективных полупроводниковых эмиттеров с положительным электронным сродством (ПЭС), например Cs_2Te [12], на кривых зависимостей $\delta(E_p)$ при энергиях $E_p \approx 2E_g$ наблюдались участки замедленного роста кривых, что можно связывать с возбуждением в зону проводимости вместо одного горячего электрона двух электронов с энергией, близкой ко дну зоны проводимости и, следовательно, недостаточной для преодоления поверхности потенциального порога в случае ПЭС. Для эмиттеров с ОЭС возможна принципиально иная ситуация, так как в этом случае валентные электроны, возбужденные на некоторой глубине эмиттера на дно зоны проводимости, имеют определенную вероятность выхода в вакуум, в связи с чем при $E_p \approx 2E_g$ можно ожидать не замедления, а ускорения роста зависимости

смости $\delta(E_p)$. Как видно из рис. 1, при $E_p = 3.5 - 4.5$ эВ действительно наблюдаются участки наиболее резкого роста зависимостей $\delta(E_p)$ и $\sigma(E_p)$. Однако интерпретация этих особенностей для исследованного ОЭС эмиттера может быть связана и с другим обстоятельством, а именно с ростом в этой области E_p вероятности взаимодействия первичных электронов с валентными электронами, что проявляется в резком спаде зависимости $R(E_p)$, начиная с $E_p \approx 3.5$ эВ (рис. 1). Рост эффективности взаимодействия первичных электронов с валентными электронами в соответствующей области энергий E_p может быть связан с особенностями энергетической структуры эмиттера и прежде всего с характерным для полупроводников $A^{III}B^V$ увеличением плотности состояний в валентной зоне при удалении от ее вершины на несколько электронвольт [13].

Литература

- [1] Белл Р. Л. Эмиттеры с отрицательным электронным сродством М.: Энергия, 1978. 192 с.
- [2] Мусатов А. Л., Коротких В. Л., Коринфский А. Д. // Изв. АН СССР. Сер. физ. 1976. Т. 40. № 12. С. 2523—2527.
- [3] Андронов А. Н., Маслецов А. В., Лепешинская В. Н. // Тез. докл. III Всесоюзн. симп. по вторичной и фотоэлектронной эмиссии. М., 1978. С. 96—97.
- [4] Комолов С. А., Галат Я. // Поверхность. 1983. № 5. С. 36—40.
- [5] Немченок Р. Л., Пальто Т. Н., Цуранов А. П. // ФТТ. 1976. Т. 18. Вып. 1. С. 241—243.
- [6] Шульман А. Р., Фридрихов С. А. Вторично-эмиссионные методы исследования твердого тела. М.: Наука, 1977. 552 с.
- [7] Wooten F. // J. Appl. Phys. 1973. Vol. 44. N 3. P. 1118—1120.
- [8] Либенсон Б. Н., Стучинский Г. Б., Янюшкин Е. И., Янюшкина Т. В. // ФТТ. 1984. Т. 26. Вып. 8. С. 2424—2427.
- [9] Нолле Э. Л., Петров А. Э., Ботнесс С. А. // ФТТ. 1985. Т. 27. Вып. 9. С. 2817—2819.
- [10] Брыксин В. В., Мирлин Д. Н., Фирсов Ю. А. // УФН. 1974. Т. 113. № 1. С. 29—67.
- [11] Grafford M. G., Shaw R. W., Herzog A. H., Graves W. O. // J. Appl. Phys. 1972. Vol. 43. N 10. P. 4075—4079.
- [12] Афонина Л. Ф., Воробьева О. Б., Климин А. И., Стучинский Г. Б. // РиЭ. 1969. Т. 14. № 12. С. 2237—2241.
- [13] Chelikowsky J., Chadi D. J., Cohen M. L. // Phys. Rev. B. 1973. Vol. 8. N 6. P. 2786—2794.

Поступило в Редакцию
26 марта 1988 г.

МЕХАНИЗМ МАГНИТОЧУВСТВИТЕЛЬНОСТИ ПОЛУПРОВОДНИКОВОЙ МНОГОСЛОЙНОЙ СТРУКТУРЫ

И. М. Викулин, М. А. Глауберман, В. В. Егоров, Н. А. Канищева

В работе исследуется механизм магниточувствительности многослойной полупроводниковой структуры. Решение этого вопроса непосредственно связано с изучением эффектов, возникающих при действии магнитного поля на распределение концентрации неосновных неравновесных носителей заряда с учетом ее геометрических особенностей.

Рассмотрим эту задачу для структуры, показанной на рис. 1. Считалось [1], что основным механизмом ее магниточувствительности является эффект отклонения потока инжектированных носителей заряда к одному из коллекторов непосредственно магнитным полем (силой Лоренца), а также дополнительно силой электрического поля Холла, создаваемого в базе током основных носителей заряда, т. е. результирующий угол отклонения вектора плотности тока неосновных носителей заряда относительно оси x равен

$$\varphi = \operatorname{arctg}(\mu_p^* B) + \operatorname{arctg}(\mu_n^* B),$$

где μ_p^* , μ_n^* — холловские подвижности дырок и электронов.

Величина эффекта отклонения наиболее значительна, когда а) токи неосновных и основных носителей заряда параллельны при $B=0$, б) магнитное поле перпендикулярно поверхности структуры, в) ширина базы ограничена расстоянием между коллекторами. Уровень инжекции эмиттера считался однородным по всей инжектирующей поверхности.